

УЛК 544 2· 546 05· 543 05

## **Сорбция и разделение оптических изомеров 2-бутанола хиральными пористыми координационными полимерами**

*Ю. А. Сацкая<sup>1</sup>, Н. П. Комарова<sup>2</sup>, К. С. Гавриленко<sup>2,3</sup>,  
О. В. Манойленко<sup>2</sup>, Ж. В. Черненко<sup>1</sup>, М. А. Кискин<sup>4</sup>,  
С. В. Колотилов<sup>1</sup>, И. Л. Еременко<sup>4</sup>, В. М. Новоторцев<sup>4</sup>*

<sup>1</sup> Институт физической химии им. Л. В. Писаржевского НАН Украины, просп. Науки, 31, Киев 03028, Украина. E-mail: svk001@mail.ru

<sup>2</sup> ООО «Енамин»  
ул. Красноткацкая, 61, Киев 03022, Украина. E-mail: kgavrio@mail.ru

<sup>3</sup> Научно-производственный химико-биологический центр Киевского национального университета имени Тараса Шевченко ул. Красноткацкая, 61, Киев 03022, Украина

<sup>4</sup> Институт общей и неорганической химии им. Н. С. Курнакова РАН  
Ленинский просп., 31, Москва 119991, ГСП-1, Российской Федерации

Показано, что пористые координационные полимеры (ПКП) 3d-металлов, содержащие хиральные центры в фрагментах депротонированных (*S*)-молочной, (*R*)-аспарагиновой кислот или тримезоил-(*S*)-аланина, характеризуются разными значениями сорбционной емкости в отношении индивидуальных оптических изомеров 2-бутинала при сорбции таких субстратов из газовой фазы, а разница между значениями сорбционной емкости в отношении (*R*)- и (*S*)-изомеров 2-бутинала коррелирует с величиной энантиомерного избытка, достигаемой при разделении рацемата спирта на соответствующем ПКП методом колоночной хроматографии.

**Ключевые слова:** хиральные пористые координационные полимеры, сорбция оптических изомеров, разделение рацемата, цинк, никель, кобальт, 2-бутианол, лактат, аминокислоты.

Разделение оптических изомеров органических веществ имеет первостепенное значение для нужд фармацевтики и биохимии [1, 2]. В настоящее время как одни из наиболее перспективных методов разделения оптических изомеров рассматриваются селективная сорбция и хроматография. Однако различие в способности хиральных сорбентов сорбировать оптические изомеры обычно очень мало, что обусловлено близостью химических свойств таких веществ [3]. Таким образом, актуальную задачу современной физической химии представляет определение факторов, влияющих на селективность сорбции оптических изомеров.

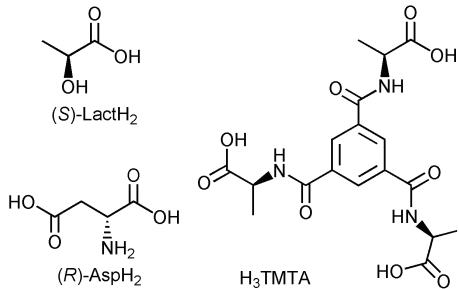
В настоящее время для хроматографического разделения широкого круга рацематов (в том числе, рацематов фармацевтических веществ —ベンзодиазепинов,ベンзотиадиазинов,дигидропиридинов и лактамов) используется ряд хиральных фаз, полученных на основе природных изомеров (например, производных винной кислоты) [3]. Относительно недавно начались

активные исследования нового класса пористых сорбентов — хиральных пористых координационных полимеров (ПКП), преимущества которых заключаются в возможности формирования кристаллической решетки с порами практически одинакового размера, наряду с возможностью введения хиральной группы в каждую элементарную ячейку вещества [4, 5]. Показано, что ПКП обладают высокой селективностью в отношении сорбции разных нехиральных газов [6] или органических веществ [7]. Относительно недавно начаты исследования применения хиральных ПКП для разделения оптических изомеров в газовой фазе, но уже можно сделать вывод о перспективности таких систем для анализа рацематов [8—13]. Эффективное разделение оптических изомеров с использованием хиральных ПКП может достигаться путем адсорбции из растворов и газовой фазы [10, 11, 14—17], хроматографии [8, 18—20] или пропускания рацемата через мембранны [9].

Цель настоящей работы заключалась в исследовании различия сорбционной емкости хиральных ПКП в отношении чистых изомеров 2-бутинала, а также в ответе на вопрос о том, существует ли симбиатность между сорбционной емкостью хирального ПКП в отношении чистого определенного изомера и способностью такого ПКП выделять оптический изомер из рацемата при хроматографии.

Эффективность разделения оптических изомеров спиртов в большинстве случаев существенно увеличивается с ростом количества функциональных групп в их составе, способных к относительно высокоэнергетическим взаимодействиям с функциональными группами сорбента. В то время как описаны примеры адсорбционного выделения одного из изомеров 2-бутинала с энантиомерным избытком (*ee*) около 100 % [16, 21] (*ee* = 100 %  $|c(R) - c(S)|/(c(R) + c(S))$ ), в большинстве случаев изомеры бутанола разделяются хуже, чем диолы или спирты, содержащие фенильные заместители (фенилэтанол и аналоги). Так, образцы диолов, выделенных из сорбента после адсорбции, характеризуются *ee* до 75 % [9, 14], селективность сорбции или хроматографического разделения 1-фенилэтанола (и аналогов), как правило, превышает селективность сорбции или хроматографического разделения 2-бутинала (и аналогов) [18, 19, 22]. В ряде случаев вообще не наблюдалось различия между адсорбцией [21] оптических изомеров бутанола хиральными ПКП или временем их удержания на хроматографической колонке [18, 19]. Таким образом, исследование факторов, влияющих на эффективность разделения оптических изомеров 2-бутинала хиральными ПКП, представляет нетривиальную задачу.

В настоящей работе исследованы как сорбция чистых оптических изомеров 2-бутинала из газовой фазы хиральными ПКП  $[Zn_2(bdc)(Lact)(DMF)]_n \times nDMF$  (**1**·*n*DMF),  $[Ni_2(asp)_2(bipy)]_n \cdot nCH_3OH \cdot nH_2O$  (**2**·*n*CH<sub>3</sub>OH·*n*H<sub>2</sub>O),  $[Co_3(TMTA)_2(bipy)]_4 \cdot 28nH_2O$  (**3**·28*n*H<sub>2</sub>O) ( $Lact^{2-}$  = (*S*)-лактат,  $Asp^{2-}$  = дианион (*R*)-аспарагиновой кислоты, TMTA<sup>3-</sup> = трианион trimезоил-(*S*)-аланина,  $bdc^{2-}$  = 1,4-бензодикарбоксилат, *bipy* = 4,4'-бипиридин, DMF = N,N-диметилформамид), так и разделение рацемата 2-бутинала на хроматографических колонках, наполненных соединениями **1**·*n*DMF и **2**·*n*CH<sub>3</sub>OH·*n*H<sub>2</sub>O.



## Экспериментальная часть

Коммерчески доступные реагенты и растворители использовали без дополнительной очистки. Оптические изомеры 2-бутинала («Acros Organics») содержали 99 % чистого изомера. Хиральные ПКП получены по известным методикам [14, 23, 24]. Состав образцов подтвержден данными элементного анализа с использованием анализатора «Carlo Erba 1106», а фазовая чистота — методом рентгенофазового анализа с использованием дифрактометра «Bruker D8 Advance» (CuK<sub>α</sub>-излучение,  $\lambda_{Cu} = 1,542$  нм).

Для разделения рацемата 2-бутинала использовали хроматографическую колонку диаметром 3 мм длиной 20 см. Колонку заполняли сорбентом на 10 см и заливали 2-бутиналом доверху. Колонку выдерживали 30 мин, после чего по отдельности отбирали 4 пробы по 0,2 мл. Содержание чистых изомеров 2-бутинала в пробах проводили методом жидкостной хроматографии на колонке Chiralpak IB (длина 250 мм, внутренний диаметр 4,6 мм, скорость потока 0,5 мл/мин, элюент — смесь *n*-гексана с пропанолом-2 90 : 10 (по объему)). Абсолютную конфигурацию изомера 2-бутинала определяли путем сравнения его хроматограммы с хроматограммой чистого изомера. Перед анализом каждую порцию спирта, полученную после прохождения колонки (0,09 мл), модифицировали путем обработки фенилизоцианатом в 7 мл бензола при постоянном перемешивании при 70 °C в течение 24 ч. Образцы стандартов получали таким же методом исходя из 0,2 мл чистого (*R*)- или (*S*)-изомера спирта и 0,6 мл фенилизоцианата, при этом не наблюдали рацемизации.

Изотермы адсорбции чистых изомеров (*R*)-2-бутинала и (*S*)-2-бутинала из газовой фазы измеряли гравиметрически с использованием кварцевых микроресов. Каждая точка на изотерме адсорбции и десорбции соответствует равновесному состоянию (отсутствие изменения веса при определенном давлении). Перед сорбционными измерениями образцы выдерживали в ацетоне в течение 5 сут (ацетон меняли раз в день), после чего активировали при 120 °C и 10<sup>-2</sup> торр.

Для измерения изотермы адсорбции рацемата 2-бутинала из раствора навески **1** по 100 мг выдерживали в порциях раствора 2-бутинала в CCl<sub>4</sub> (1 мл раствора, содержание 2-бутинала варьировали от 40 до 350 мг/мл) при постоянном перемешивании в течение 24 ч при 20 °C, после чего концентрацию 2-бутинала в равновесной смеси определяли методом газовой хроматографии с использованием калибрючной кривой. Для анализа использовали колонку DB WAXeter (30 м, внутренний диаметр 0,25 мм, пленка носителя 0,25 мкм).

### Результаты и обсуждение

Соединения **1—3** представляют собой 3D-координационные полимеры [14, 23, 24]. Оптическая активность этих ПКП обусловлена наличием в их составе хиральных фрагментов окси- или аминокислот — (*S*)-молочной, (*R*)-аспарагиновой или трилизоил-(*S*)-аланина соответственно. Поры в кристаллических решетках исследованных ПКП представляют собой каналы, диаметр которых в сольватированных соединениях составляет в среднем 5 Å в случае **1**·nDMF [23], 4 Å в случае **2**·1,28CH<sub>3</sub>OH×x·0,72H<sub>2</sub>O [14], 7 Å в случае **3**·2H<sub>2</sub>O [24]. ПКП **1—3** не содержат вакансий в координационных сферах ионов металлов. В то же время при десольватации **1**·nDMF из состава этого соединения удаляются как сольватные, так и координированные молекулы DMF, что ведет, таким образом, к образованию координационно-ненасыщенного иона Zn<sup>2+</sup> (это соединение далее обозначается **1'**). Такая десольватация происходила при подготовке образца (нагревание при 120 °C в вакууме) для исследования сорбции чистых изомеров 2-бутанола из газовой фазы (по данным дериватографии температура десольватации **1** при атмосферном давлении составляет 200 °C [23]). Значения объема пор, который может быть занят молекулами растворителя в **1**·nDMF, **2**·1,28CH<sub>3</sub>OH×x·0,72H<sub>2</sub>O и **3**·2H<sub>2</sub>O, рассчитанный по кристаллографическим данным с использованием программы Platon [25] в предположении, что кристаллическая решетка при десольватации не меняется, составляют 0,53; 0,14 и 0,35 cm<sup>3</sup>/г для молекулы-зонда с *r* = 1,4 Å соответственно (все молекулы растворителя, в том числе координированный DMF в **1**·nDMF, удалены). При этом расчет показывает, что поры и полости в этих соединениях могут быть заняты только молекулами с *r* < 2,7 Å для **1**·nDMF, *r* < 2,2 Å в случае **2**·1,28CH<sub>3</sub>OH·0,72H<sub>2</sub>O и *r* < 3,4 Å для **3**·2H<sub>2</sub>O.

Из газовой фазы при 303 K во всем диапазоне *p/p<sub>s</sub>* образец **1'** лучше сорбирует (*R*)-2-бутанол, чем (*S*)-изомер (рис. 1). Изотерма адсорбции (*R*)-2-бутанола резко растет начиная от очень малых давлений (*p/p<sub>s</sub>* = 3,5·10<sup>-3</sup>), и при *p/p<sub>s</sub>* = 0,25 сорбционная емкость **1'** достигает 0,12 cm<sup>3</sup>/г. Дальнейшее увеличение давления *p* приводит к плавному росту количества адсорбированного (*R*)-2-бутанола до 0,19 cm<sup>3</sup>/г при *p/p<sub>s</sub>* = 0,90, после чего наблюдается резкий рост изотермы до 0,79 cm<sup>3</sup>/г при *p/p<sub>s</sub>* = 0,98. В отличие от (*R*)-изомера, сорбция (*S*)-изомера начинается при *p/p<sub>s</sub>* ≈ 0,02, при *p/p<sub>s</sub>* = 0,07 комплекс **1'** сорбирует 0,016 cm<sup>3</sup>/г (*R*)-2-бутанола, после чего изотерма плавно возрастает до 0,089 cm<sup>3</sup>/г при *p/p<sub>s</sub>* = 0,90. Повышение *p*, как и в случае (*R*)-изомера, ведет к увеличению количества адсорбированного (*S*)-2-бутано-

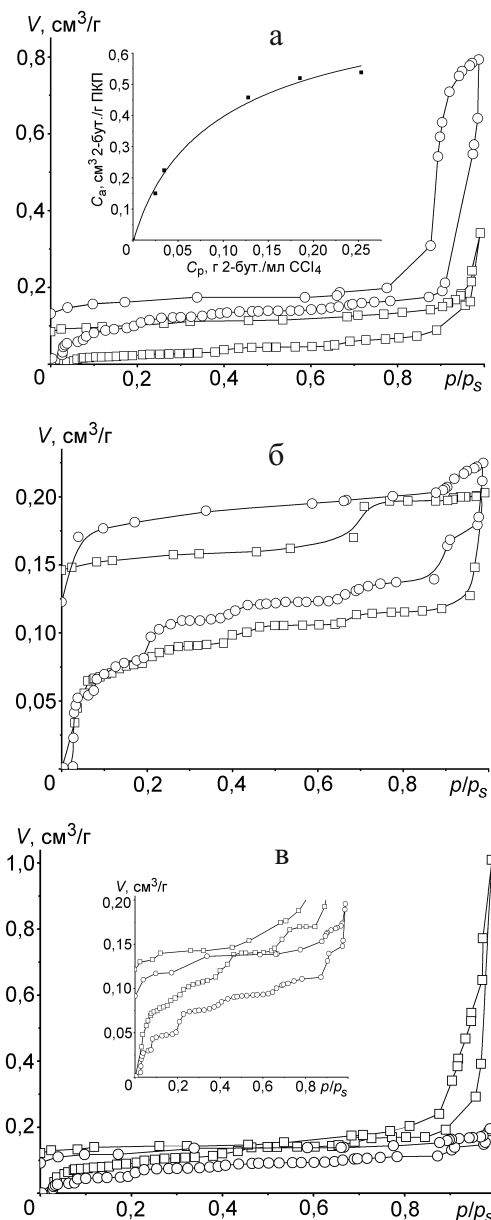


Рис. 1. Изотермы сорбции (*R*)-2-бутанола (○) (*S*)-2-бутанола (□) комплексами **1'** (а), **2** (б) и **3** (в); *T* = 303 K. Вставки: а — изотерма адсорбции рацемата 2-бутанола из раствора в CCl<sub>4</sub> при 293 K; в — изотерма в диапазоне *V* от 0 до 0,2 cm<sup>3</sup>/г.

ла, достигая 0,34 cm<sup>3</sup>/г при *p/p<sub>s</sub>* = 0,98. В целом форма изотермы адсорбции (*S*)-2-бутанола подобна форме изотермы адсорбции (*R*)-изомера, но во всем диапазоне *p/p<sub>s</sub>* сорбционная емкость в отношении (*S*)-изомера ниже в 2–4 раза. Отметим, что координация 2-бутанола к иону Zn<sup>2+</sup> (если она происходит) не является единственной причиной адсорбции, потому что на изотермах нет перегибов при достижении соотношения 2-бутанола и Zn<sup>2+</sup>, равного 1 моль/моль.

В отличие от соединения **1'** изотермы адсорбции изомеров 2-бутинала комплексом **2** практически идентичны в диапазоне  $p/p_s$  от 0 до 0,19, при более высоких давлениях сорбционная емкость в отношении (*R*)-изомера превышает сорбционную емкость в отношении (*S*)-изомера; в диапазоне  $p/p_s$  от 0,23 до 0,87 разница между изотермами составляет примерно 0,02 см<sup>3</sup>/г (около 10 %). Как и в случае **1**, изотермы адсорбции 2-бутинала соединением **2** резко повышаются при увеличении давления при  $p/p_s > 0,93$ .

Соединение **3** во всем диапазоне давлений сорбирует (*S*)-2-бутинал лучше, чем (*R*)-изомер. Различие в сорбционной емкости составляет около 0,03—0,06 см<sup>3</sup>/г при  $p/p_s$  от 0,08 до 0,87, однако при повышении давления до значений  $p/p_s$ , превышающих 0,98, изотерма сорбции (*S*)-2-бутинала резко возрастает до 1,0 см<sup>3</sup>/г (точка не показана на рис. 1), а наибольшая сорбционная емкость в отношении (*R*)-изомера составляет 0,2 см<sup>3</sup>/г.

Форма изотерм адсорбции изомеров 2-бутинала не соответствует изотермам типа I (адсорбция в микропористых сорбентах) по классификации IUPAC [26]. Кинетический радиус 2-бутинала  $r$  составляет около 2,6 Å (в предположении, что значение  $r$  2-бутинала близко к значению  $r$  2-метилпропана [6]). Значения объема пор, который может быть занят молекулами с  $r = 2,6$  Å, составляют 0,11 см<sup>3</sup>/г в **1**·nDMF и 0,17 см<sup>3</sup>/г в **3**·28nH<sub>2</sub>O. В случае **2**·n1,28CH<sub>3</sub>OH·0,72nH<sub>2</sub>O, как отмечалось выше, поры могут быть заняты молекулами с  $r < 2,2$  Å, а объем пор для молекулы с  $r = 2,1$  Å составляет 0,08 см<sup>3</sup>/г. Таким образом, объем как минимум одного из изомеров адсорбированного 2-бутинала в случае всех трех комплексов даже до начала резкого подъема изотерм при высоких давлениях превышает величину объема пор, который может быть занят этим субстратом в предположении, что кристаллическая решетка ПКП не меняется (для **1** — 0,19 см<sup>3</sup>/г (*R*)-изомера при  $p/p_s = 0,78$ ; для **2** — оба изомера; для **3** — 0,19 см<sup>3</sup>/г (*S*)-изомера при  $p/p_s = 0,89$ ).

На дифрактограмме образца **1**·nDMF, выдержанного в рацемате 2-бутинала, возникают новые малоугловые рефлексы при  $2\theta = 2,34^\circ$ ;  $4,36^\circ$  и  $4,55^\circ$  (отвечающие межплоскостным расстояниям 37,7; 20,2 и 19,4 Å соответственно), а также широкий рефлекс  $6,7^\circ$ . Кроме того, в диапазоне  $2\theta$  от  $7,5^\circ$  до  $35^\circ$  возникают новые рефлексы, а некоторые рефлексы **1**·nDMF исчезают. После испарения 2-бутинала при комнатной температуре «новые» рефлексы исчезают и дифрактограмма образца становится подобной дифрактограмме исходного комплекса. Такие изменения могут быть признаком искажения ячейки соединения **1** и проявления рефлекса 001, который отсутствовал на дифрактограмме исходного соединения из-за систематического погашения реф-

лексов в кристаллах пространственной группы  $P2_12_12_1$  (орторомбическая сингония; теоретическое положение рефлекса в соединении **1**  $2\theta = 4,30^\circ$ ), а также может быть признаком появления новой фазы, которая может формироваться вследствие реакции **1** с бутанолом.

В случае всех трех изученных ПКП изотермы десорбции обоих изомеров 2-бутинала образцами **1'**, **2** и **3** не совпадают с изотермами адсорбции, а уменьшение давления до нуля не ведет к полной десорбции этого спирта (рис. 1). На основании описанных выше данных можно заключить, что взаимодействие 2-бутинала с ПКП **1'**, **2** и **3** не является классической физической адсорбцией в микропорах. В области малых давлений различия формы изотерм от ожидаемой для микропористых сорбентов могут быть связаны с затрудненной диффузией этого спирта в порах, и все описанные данные согласуются с предположением о перестройке структуры сорбента (например, изменение конформации функциональных групп лигандов при взаимодействии с 2-бутиналом). Предположение о перестройке структуры ПКП **1** и **3** при взаимодействии с 2-бутиналом также может объяснить резкий рост изотерм при высоких давлениях: в случае если подъем изотерм при высоких давлениях был бы связан с конденсацией этого спирта на поверхности микрокристаллов, отличия между изотермами сорбции оптических изомеров не наблюдались бы, а при отсутствии структурной перестройки сорбционная емкость не превышала бы величину объема пор. Такая перестройка структуры **1** при взаимодействии с молекулами-гостями может быть подобна структурной перестройке хирального ПКП  $[Zn_2(bda)_2(dabco)]_n$  ( $bda = (R)$ -2,2'-дигидрокси-1,10-бинафтил-5,5'-дикарбоновая кислота,  $dabco = 1,4$ -диазабицикло[2.2.2]октан) [27]. Очевидно, разная адсорбция (*R*)- и (*S*)-изомеров обусловлена различиями в энергии взаимодействия оптических изомеров этого спирта с хиральными группами в составе ПКП, что связано с разным расположением двух или большего числа функциональных групп, взаимодействующих с асимметричными фрагментами сорбента, в изомерах 2-бутинала [28].

Селективность ПКП по отношению к сорбции чистых оптических изомеров может быть оценена селективностью сорбции  $e_s$ , которая определяется как отношение количеств изомеров, сорбируемых в одинаковых условиях [13]. По критерию  $e_s$  соединения **1'**—**3** в случае сорбции изомеров из газовой фазы пре-восходят селективность ПКП  $[Ni_3(btc)_2(3-pic)_6(1,2-pd)_3]_n$  в сорбции этил-3-гидроксибутират [12] и сравнимы с селективностью ПКП  $[Zn_2(cam)_2(dabco)]_n$  в сорбции 2,5-гександиола [13] (обозначения лигандов и

## Результаты разделения некоторых спиртов хиральными ПКП

Комплекс, метод	Субстрат	Результат разделения	Литература
Сорбция из газовой фазы			
<b>1'</b>	(R)-2-Бутанол/(S)-2-Бутанол	$es = 0,19/0,09 \text{ см}^3/\text{г} = 2,1^{\text{a}}$	Наст. работа
<b>2</b>		$es = 0,17/0,12 \text{ см}^3/\text{г} = 1,4^{\text{a}}$	Наст. работа
<b>3</b>		$es = 0,13/0,21 \text{ см}^3/\text{г} = 0,6^{\text{a}}$	Наст. работа
$[\text{Ni}_3(\text{btc})_2(3\text{-pic})_6(1,2\text{-pd})_3]_n^{\text{b}}$	(R)-Этил-3-гидроксибутират	$es = 0,524(1)/0,494(1) \text{ см}^3/\text{г} = 1,06^{\text{b}}$	[12]
$[\text{Zn}_2(\text{cam})_2(\text{dabco})]_n^{\text{c}}$	(2R,5R)-2,5-Гександиол/ (2S,5S)-2,5-Гександиол	$es = 0,388/0,254 \mu\text{g}/\text{cm}^2 = 1,5^{\text{c}}$	[13]
$[\text{Ni}_3(\text{btc})_2(3\text{-pic})_6(1,2\text{-pd})_3]_n^{\text{b}}$	Рацемат этил-3-гидроксибутирата	$ee = 0,7—1,0 \%^{\text{d}}$	[12]
Хроматография			
<b>1</b>	Рацемат 2-бутанола	$ee_{\text{max}} = 4,4 \pm 1,5 \%$	Наст. работа
$[\text{Zn}_4\text{O}(\text{btb})_{4/3}(\text{L}1)(\text{DEF})_{19}(\text{H}_2\text{O})_6]_n^{\text{e}}$	2-Бутанол	Нет отличия между (R)- и (S)-изомерами	[18]
	1-Фенилэтанол	$t_r(R) = 11,2 \text{ мин}; t_r(S) = 7,8 \text{ мин}$	[18]
$[\text{Cu}(\text{sala})]_n^{\text{x}}$	O-Трифторацетил-2-метилбутанол-1	$\alpha = k_2/k_1 = 1,01$	[19]
	O-Трифторацетил-1-фенилэтанол	$\alpha = k_2/k_1 = 1,29$	[19]
Сорбция жидкого субстрата или сорбция из раствора ( $ee$ относятся к спирту, выделенному из сорбента после сорбции)			
<b>1</b>	Рацемат 2-бутанола	$ee = 14 \%$	[22]
$[\text{M}_3(\text{L}3)_3\text{Cu}(\text{L}4)]_n^{\text{f}}$	Рацемат 2-бутанола	$ee$ от 45,2 до 77,1 %	[17]
$[\text{Cd}(\text{QA})_2]_n^{\text{u}}$	Рацемат 2-бутанола	$ee = 98,2 \%$	[21]
<b>1</b>	Рацемат 1-фенилэтанола	$ee = 21 \%$	[22]
<b>2<sup>k</sup></b>	Рацемат 1,3-бутандиола	$ee = 17,9^{\text{k}}$	[14]
	Рацемат 1,2-бутандиола	$ee = 5,1^{\text{k}}$	[14]
	Рацемат 2,3-бутандиола	$ee = 1,5^{\text{k}}$	[14]

<sup>a</sup>  $V((R)\text{-2-бутанола})/V((S)\text{-2-бутанола})$  при  $p/p_s = 0,9$ ,  $T = 303 \text{ K}$ ;  $es$  — энантиоселективность; <sup>b</sup> сорбция из газовой фазы, 1,2-pd = 1,2-пропандиол, 3-pic = 3-пиколин, H<sub>3</sub>btc = 1,3,5-бензольтрикарбоновая кислота; <sup>c</sup> оценка по Дубинину — Радушкевичу для вариантов сорбции сорбентом на основе (S)-1,2-pd/(R)-1,2-pd,  $T = 300 \text{ K}$ ; <sup>d</sup> H<sub>2</sub>sam = (1R,3S)-камфорная кислота, dabco = 1,4-диазабицикло(2.2.2)октан;  $m((2R,5R)\text{-2,5-гександиола})/m((2S,5S)\text{-2,5-гександиола})$ ; <sup>e</sup> избыток (S)-субстрата в сорбенте на основе (R)-1,2-pd/избыток (R)-субстрата в сорбенте на основе (S)-1,2-pd; <sup>f</sup> хроматография отдельных изомеров на колонке,  $l = 5 \text{ см}$ ,  $30 \text{ }^\circ\text{C}$ ;  $t_r$  — время удерживания субстрата на хроматографической колонке H<sub>3</sub>btb = 1,3,5-трист-(4-карбоксифенил)бензол, H<sub>2</sub>L1 = 2-(N-(4S)-бензил-2-оксалолидинонидил)-1,4-бензодикарбоновая кислота, DEF = N,N-диэтилформамид; <sup>x</sup> хроматография рацемата на колонке;  $l = 2 \text{ м}$ ,  $120 \text{ }^\circ\text{C}$ , H<sub>2</sub>sala = N-(2-гидроксибензил)-(S)-аланин;  $\alpha$  — фактор разделения; <sup>g</sup> M = Cd<sup>II</sup> или Zn<sup>II</sup>; L3H<sub>2</sub> = 1,4-бензодикарбоновая кислота или 1,4-транс-циклогександикарбоновая кислота; L4 = основание Шиффа из 4-гидрокси-3-формил-5-алкилпиридина и (1R,2R)-циклогександиамина или (1S,3R)-2,2-диметилцикlopентан-1,3-диамина; <sup>h</sup> сорбция из жидкой фазы, HQA = 6'-метокси-(8S,9R)-цинхонан-9-ол-3-карбоновая кислота; сорбируется преимущественно (S)-изомер; <sup>k</sup> сорбция из жидкой фазы, 278 K, ee приведены без поправки на ee исходного спирта.

конфигурации хиральных центров приведены в таблице). Учитывая, что молекула 2-бутанола содержит только одну гидроксигруппу, способную к образованию водородных связей со структурными элементами ПКП, высокое значение  $es$  для **1'—3** по сравнению с  $es$  сорбции изомерных 2,5-гександиолов  $[\text{Zn}_2(\text{cam})_2(\text{dabco})]_n$  не может объясняться только

ролью многоцентровых взаимодействий, а, вероятно, связано также с лучшим соответствием размера пор ПКП размеру пор субстрата (ПКП  $[\text{Zn}_2(\text{cam})_2(\text{dabco})]_n$  содержит каналы размером  $3 \times 3,5 \text{ \AA}$  [29], однако структура этого соединения, вероятно, более устойчива к перестройке в условиях эксперимента по сравнению с комплексом **1**).

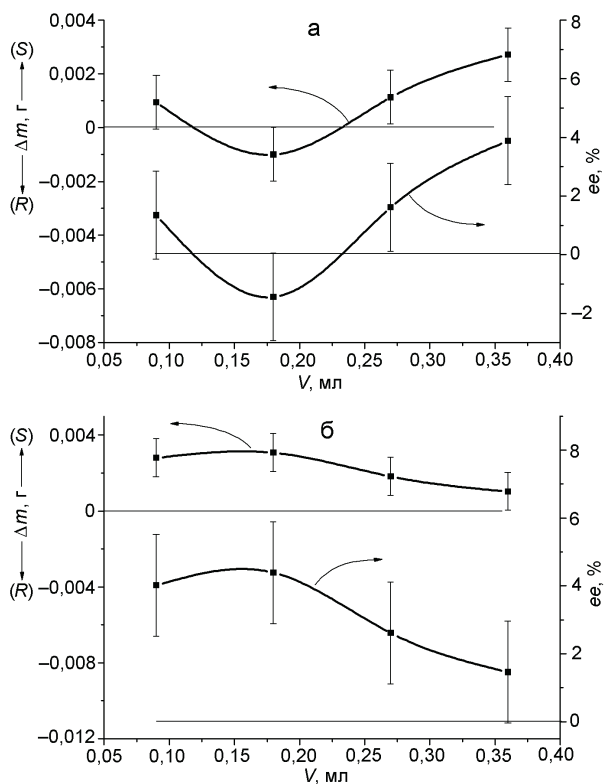


Рис. 2. Результаты анализа раствора, полученного после пропускания рацемата 2-бутанола через колонку, заполненную ПКП **1***n*DMF, без предварительного выдерживания рацемата на колонке (*a*) и после 45-минутного выдерживания рацемата на колонке (*б*).

Важность соответствия размера пор и субстрата для эффективности разделения оптических изомеров отмечалась ранее [17].

Для определения сорбционной емкости **1***n*DMF в отношении 2-бутанола из раствора была измерена равновесная изотерма адсорбции этого спирта из раствора в  $\text{CCl}_4$  (рис. 1, *a*). Изотерма описывается уравнением Ленгмюра. Оценка по Ленгмюру максимального достигнутого количества адсорбированного 2-бутанола (из рацемата) соединением **1** дает значение  $0,79(3) \text{ см}^3/\text{г}$  (4,8 моль/моль  $\text{Zn}_2$ ). Это значение примерно соответствует сорбционной емкости **1'** в отношении (*R*)-изомера из газовой фазы при исследовании образца **1***n*DMF; близость этих величин может быть косвенным признаком незначительной адсорбции  $\text{CCl}_4$ . Отметим, что образец **1***n*DMF показал более высокую эффективность в разделении оптических изомеров, и по этой причине были исследованы сорбционные характеристики сольватированного образца.

С целью определения влияния растворителя на селективность сорбции изомеров комплексом **1***n*DMF нами была исследована сорбция 2-бутанола

из растворов, содержащих рацемат этого спирта в разных растворителях (0,17 г **1***n*DMF в 2 мл раствора с концентрацией 5,5 М). Установлено, что использование растворов в  $\text{CCl}_4$  или бензole не приводит, в пределах ошибки, к появлению избытка оптического изомера в растворе, а в случае раствора в 1,4-диоксане найден избыток (*S*)-изомера в растворе, величина его энантиомерного избытка в растворе *ee* составляет около  $0,4 \pm 0,2\%$ . Такой избыток (*S*)-изомера в растворе соответствует избытку около 16 % (*R*)-изомера в твердой фазе, что согласуется с найденной ранее величиной *ee* для 2-бутанола, выделенного из образца **1***n*DMF после его выдерживания в рацемате 2-бутанола без растворителя (14 %) [22]. В случае сорбции рацемата 2-бутанола активированным образцом **1'** достигается вдвое меньший избыток (*S*)-изомера в растворе по сравнению с **1***n*DMF.

Пропускание рацемата 2-бутанола через колонку, наполненную образцом **1***n*DMF (массой 0,45 г), без выдерживания 2-бутанола в колонке для приближения к состоянию адсорбционного равновесия (так называемое уравновешивание системы) ведет к обогащению смеси (*S*)-изомером (соответственно, сорбируется (*R*)-изомер (рис. 2, *a*)). Однако значительный энантиомерный избыток наблюдается только после пропускания 0,3 мл рацемата. В случае предварительного выдерживания колонки с 2-бутанолом в течение 45 мин в растворе, выходящем из колонки, наблюдается избыток (*S*)-2-бутанола (рис. 2, *б*), и его энантиомерный избыток во второй порции (от 0,09 до 0,18 мл) составляет  $ee = 4,4 \pm 1,5\%$ . Таким образом, колонка, содержащая 0,45 г сорбента, позволяет получить 0,07 г раствора, содержащего энантиомерный избыток (*S*)-2-бутанола  $4,4 \pm 1,5\%$ , или 0,3 г раствора с *ee* = 3,1 %. Удержание (*R*)-2-бутанола на хроматографической колонке согласуется с более высокой адсорбцией именно этого изомера из газовой фазы. В отличие от изученных ранее ПКП  $[\text{Zn}_4\text{O}(\text{btb})_{4/3}(\text{L}1)(\text{DEF})_{19}(\text{H}_2\text{O})_6]_n$  [18] и  $[\text{Cu}(\text{sala})]_n$  [19], использование **1** в качестве носителя для хроматографии позволяет разделять оптические изомеры 2-бутанола (таблица; отметим, что значение *ee* образца спирта после пропускания через хроматографическую колонку заведомо ниже, чем *ee* образцов спирта, выделенного из сорбента после выдерживания в рацемате).

Пропускание 2-бутанола через колонку, наполненную **2***n* $\text{CH}_3\text{OH}\cdot n\text{H}_2\text{O}$ , не приводит к разделению изомеров, что согласуется с незначительным отличием между изотермами сорбции изомеров 2-бутанола из газовой фазы. В случае сорбции изомерных бутандиолов соединением **2** достигаются относительно невысокие значения *ee* — на уровне величин *ee*,

найденных для сорбции одноатомных спиртов соединением **1** (таблица). Таким образом, меньшая эффективность **2** в хроматографическом разделении рацемата 2-бутанола по сравнению с соединением **1** в целом коррелирует с эффективностью этих ПКП в адсорбционном разделении оптических изомеров спиртов.

В результате проведенного исследования показано, что сорбция оптических изомеров 2-бутанола на ПКП **1—3** из газовой фазы отличается; соединения **1** и **2** лучше сорбируют (*R*)-2-бутанол, тогда как **3** лучше сорбирует (*S*)-2-бутанол. Сорбция 2-бутанола соединениями **1—3** не является классической физической адсорбцией и, вероятно, сопровождается перестройкой структуры сорбента. Установлено, что разбавление рацемата 2-бутанола бензолом или  $\text{CCl}_4$  ухудшает селективность сорбции изомеров комплексом **1**-*n*DMF, в то время как использование раствора 2-бутанола в 1,4-диоксане в пределах ошибки не влияет на способность этого ПКП разделять оптические изомеры. ПКП **1** при использовании в качестве неподвижной фазы для хроматографического разделения рацемата 2-бутанола преимущественно удерживает (*R*)-2-бутанол, в то время как использование **2** не приводит к разделению изомеров, что согласуется с различием между сорбционной емкостью этих ПКП в отношении оптических изомеров 2-бутанола из газовой фазы (различие в сорбционной емкости **1'** в отношении разных изомеров 2-бутанола превышает различие в сорбционной емкости **2**). Принимая во внимание зависимость эффективности хроматографического разделения оптических изомеров от времени выдергивания рацемата на колонке, а также различие в равновесной сорбции чистых изомеров 2-бутанола из газовой фазы, можно заключить, что хроматографическое разделение оптических изомеров комплексом **1** достигается благодаря различиям термодинамических характеристик адсорбции изомеров, а не возможным отличиям в скорости их адсорбции.

## Литература

1. Ленинджер А. Основы биохимии. — М. : Мир, 1985. — Т. 1.
2. Машковский М. Лекарственные средства. — М. : Новая волна, 2014.
3. Алленмарк С. Хроматографическое разделение энантиомеров. — М. : Мир, 1991.
4. Юткин М. П., Дыбцев Д. Н., Федин В. П. // Успехи химии. — 2001. — **80**. — С. 1061—1086.
5. Yoon M., Srirambalaji R., Kim K. // Chem. Rev. — 2012. — **112**. — Р. 1196—1231.
6. Li J.-R., Kupperer R. J., Zhou H.-C. // Chem. Soc. Rev. — 2009. — **38**. — Р. 1477—1504.
7. Zou R., Abdel-Fattah A. I., Xu H. et al. // Cryst. Eng. Commun. — 2010. — **12**. — Р. 1337—1353.
8. Kuang X., Ma Y., Su H. et al. // Anal. Chem. — 2014. — **86**. — Р. 1277—1281.
9. Huang K., Dong X., Ren R., Jin W. // AIChE Journal. — 2013. — **59**. — Р. 4364—4372.
10. Li P., He Y., Guang J. et al. // J. Amer. Chem. Soc. — 2014. — **136**. — Р. 547—549.
11. Dybtsev D. N., Yutkin M. P., Samsonenko D. G. et al. // Chem. Eur. J. — 2010. — **16**. — Р. 10348—10356.
12. Bradshaw D., Prior T. J., Cussen E. J. et al. // J. Amer. Chem. Soc. — 2004. — **126**. — Р. 6106—6114.
13. Liu B., Shekhar O., Arslan H. K. et al. // Angew. Chem. Int. Ed. — 2012. — **51**. — Р. 807—810.
14. Vaidhyanathan R., Bradshaw D., Rebilly J.-N. et al. // Ibid. — 2006. — **45**. — Р. 6495—6499.
15. Seo J. S., Whang D., Lee H. et al. // Nature. — 2000. — **404**. — Р. 982—986.
16. Li G., Yu W., Ni J. et al. // Angew. Chem. Int. Ed. — 2008. — **47**. — Р. 1245—249.
17. Das M. C., Guo Q., He Y. et al. // J. Amer. Chem. Soc. — 2012. — **134**. — Р. 8703—8710.
18. Padmanaban M., Müller P., Lieder C. et al. // Chem. Commun. — 2011. — **47**. — Р. 12089—12091.
19. Xie S.-M., Zhang Z.-J., Wang Z.-Y., Yuan L.-M. // J. Amer. Chem. Soc. — 2011. — **133**. — Р. 11892—11895.
20. Nuzhdin A. L., Dybtsev D. N., Bryliakov K. P. et al. // Ibid. — 2007. — **129**. — Р. 12958—12959.
21. Rood J. A., Noll B. C., Henderson K. W. // Main Group Chem. — 2009. — **8**. — Р. 237—250.
22. Suh K., Yutkin M. P., Dybtsev D. N. et al. // Chem. Commun. — 2012. — **48**. — Р. 513—515.
23. Dybtsev D. N., Nuzhdin A. L., Chun H. et al. // Angew. Chem. Int. Ed. — 2006. — **45**. — Р. 916—920.
24. Chen Z., Liu X., Zhang C. et al. // Dalton Trans. — 2011. — **40**. — Р. 1911—1918.
25. Van der Sluis P., Spek A. L. // Acta Crystallogr. A. — 1990. — **46**. — Р. 194—201.
26. Sing K. S. W., Everett D. H., Haul R. A. W. et al. // Pure & Appl. Chem. — 1985. — **57**. — Р. 603—619.
27. Kitao T., Tokunaga Y., Umeyama D. et al. // Inorg. chim. acta. — 2015. — **424**. — Р. 221—225.
28. Dalgliesh C. E. // J. Chem. Soc. — 1952. — Р. 137—141.
29. Dybtsev D. N., Yutkin M. P., Peresypkina E. V. et al. // Inorg. Chem. — 2007. — **46**. — Р. 6843—6845.

Поступила в редакцию 28 ноября 2014 г.

## Сорбція і розділення оптичних ізомерів 2-бутанолу хіральними пористими координаційними полімерами

Ю. А. Сацька<sup>1</sup>, Н. П. Комарова<sup>2</sup>, К. С. Гавриленко<sup>2,3</sup>, О. В. Манойленко<sup>2</sup>,  
Ж. В. Черненко<sup>1</sup>, М. А. Кіскін<sup>4</sup>, С. В. Колотілов<sup>1</sup>, І. Л. Еременко<sup>4</sup>, В. М. Новоторцев<sup>4</sup>

<sup>1</sup> Інститут фізичної хімії ім. Л. В. Писаржевського НАН України  
просп. Науки, 31, Київ 03028, Україна. E-mail: svk001@mail.ru

<sup>2</sup> ТОВ “Єнамін”  
вул. Червоноткацька, 61, Київ 03022, Україна. E-mail: kgavrio@mail.ru

<sup>3</sup> Науково-виробничий хіміко-біологічний центр Київського національного університету імені Тараса Шевченка  
вул. Червоноткацька, 61, Київ 03022, Україна

<sup>4</sup> Институт общей и неорганической химии им. Н. С. Курнакова РАН  
Ленинский просп., 31, Москва 119991, ГСП-1, Российская Федерация

*Показано, що пористі координаційні полімери (ПКП) 3d-металів, які містять хіральні центри у фрагментах депротонованих (S)-молочної, (R)-аспарагінової кислот або тримезоїл-(S)-аланіну, характеризуються різними значеннями сорбційної ємності у відношенні індивідуальних оптичних ізомерів 2-бутанолу при сорбції таких субстратів з газової фази, а різниця між значеннями сорбційної ємності у відношенні (R)- і (S)-ізомерів 2-бутанолу корелює з величиною енантиомерного надлишку, який досягається при розділенні рацемату спирту на відповідному ПКП методом колонкової хроматографії.*

**Ключові слова:** хіральні пористі координаційні полімери, сорбція оптичних ізомерів, розділення рацемату, цинк, нікель, кобальт, 2-бутанол, лактат, амінокислоти.

## Sorption and Separation of Optical Isomers of 2-Butanol by Chiral Porous Coordination Polymers

Yu. A. Satska<sup>1</sup>, N. P. Komarova<sup>2</sup>, K. S. Gavrilko<sup>2,3</sup>, O. V. Manoylenko<sup>2</sup>,  
Zh. V. Chernenko<sup>1</sup>, M. A. Kiskin<sup>4</sup>, S. V. Kolotilov<sup>1</sup>, I. L. Eremenko<sup>4</sup>, V. M. Novotortsev<sup>4</sup>

<sup>1</sup> L. V. Pysarzhevsky Institute of Physical Chemistry, National Academy of Sciences of Ukraine  
Prosp. Nauky, 31, Kyiv 03028, Ukraine. E-mail: svk001@mail.ru

<sup>2</sup> Enamine Ltd.  
Vul. Chervonotkatska, 61, Kyiv 03022, Ukraine. E-mail: kgavrio@mail.ru

<sup>3</sup> ChembioCenter, Taras Shevchenko National University of Kyiv  
Vul. Chervonotkatska, 61, Kyiv 03022, Ukraine

<sup>4</sup> N. S. Kurnakov Institute of General and Inorganic Chemistry, Russian Academy of Sciences  
Leninsky Pros., 31, Moscow 119991, GSP-1, Russian Federation

*It was shown that porous coordination polymers (PCPs) of 3d metals containing chiral centers in fragments of deprotonated (S)-lactic, (R)-aspartic acids or trimesoyl-(S)-alanine were characterized by different values of sorption capacity in respect to individual optical isomers of 2-butanol in the case of such substrate sorption from gaseous phase, and the difference between the sorption capacity values in respect to (R)- and (S)- isomers of 2-butanol correlated with the value of enantiomeric excess achieved at separation of the racemic alcohol on corresponding PCP by column chromatography.*

**Key words:** chiral coordination polymers, sorption of optical isomers, separation of racemate, zinc, nickel, cobalt, 2-butanol, lactate, aminoacids.